

IV-6

ヘドロによる築堤に関する基礎的検討

九州大学工学部 正員 ○ 山内豊恵

九州工業技術試験所 同 三浦哲彦

九州大学工学部大学院 学生員 落合英俊

1. まえがき この報告は、ヘドロといわれる高含水比（自然含水比70~110%程度）の軟弱な冲積粘土により、河川堤防や道路盛土などを築造する工法についての基礎的な検討結果を述べるものである。これまでの築堤材料である山土を用いる場合は、たとえば図-1に示すような堤体断面については緩速施工が必要であるにしても、支持力の点では安全であることが分かっている。

いかなる工法にせよ、ヘドロによる築堤の場合に検討を要する事項は、(a) 盛土の過程における施工性と、(b) 堤体断面の力学的安定性である。(a)の問題は、運土と土を出しの方法が、人力、車両（泥土車、湿地ブル、トラックなど）、その他（ラムシェルなど）のいずれによると、要求される施工性とくにトラフィカビリティーの程度は著しく異なる。(b)の問題では、在来の断面を目途とするかぎり、斜面のすべり破壊の検討に帰する。

ヘドロは、含水比が低くなるほど強度のみならず、トラフィカビリティーが著しく向上されるので、脱水は有力な土質改良方法である。一方において、その高含水比による何らかの添加材を混合して、同様の効果を得ることも考えられる。その他の発想は現在のところ、まだ不十分なものである。

2. ヘドロの改良による堤体の安定性 検討の対象として取りあげる堤体断面として、建設省武雄工事事務所による図-1を選ぶことにする。この図には代表的基礎地盤として、六角川下流（佐賀県杵島郡福富村北区の4.2km右岸高水敷）におけるものを併示してある。

堤体および地盤の安定計算では、すべりに対する安全率 F_s を求めることが主眼になる。この計算には、盛土の過程や処理効果があり方に適応するように有効応力法と全応力法を使い分けなければならないが、ヘドロに特別な処理を加える場合には、自然土の場合のように時間的変化だけを考えればよい場合と違って、その使い分けは簡単でない。(a) 有効応力法を用いる場合には、次の US Bureau of Reclamation の方法によるものとする。

$$F_s = \frac{1}{\sum w \sin \alpha} \sum [c(l + \tan \phi \cdot w(\cos \alpha - \bar{B} \cdot \sec \alpha))]$$

ここに $\bar{B} = u / rh$ (u : 開き土水压, r : 土の単位体積重量, h : セン断面より上の土被りの高さ, w : 1つの分割部分の土の重量, ϕ : 図-2に示す角度。(b) セン断强度として全応力法を用いる場合は上式における $\bar{B} = 0$ とする。それら計算結果は図-3に示すようになり、期待する安全率に對してヘドロに必要な粘着力の大きさが分る。これは図-4によって、あるセン断抵抗 (この値は

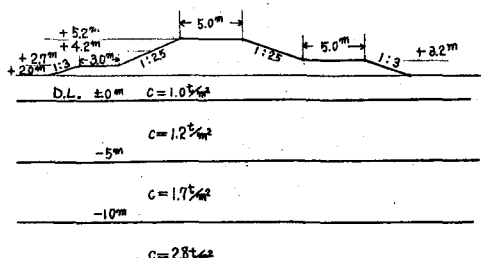
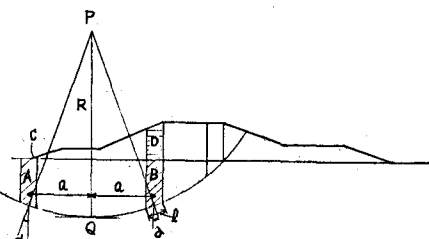


図-1 安定計算のための標準堤体断面

ヘドロを添加混和した場合を想定して、摩擦力をも考慮してある)

に対し、堤内地と堤外地のすべりの方向について安全率がどの程度違うか、またBの影響の程度が分る。

図-2



つぎに、堤体完成後に総重量13セントラックが図-5に示すような位置に載った場合の安全率を計算すると、図-6に示すようになる。土質の改良によって、トラフィカビリティーは向上されると、車両上載の場合、すべりの安全率に対するヘドロの処理効果には限度があり、粘着力が $0.2 \sim 0.25 \text{ kg/cm}^2$ 以上ではそれ以上に改良されても安全率の増大には寄与しない。

すべりに対する安全率の要求値をいくらに採るべきかは、ヘドロの処理方法と施工方法によって変るべきで、一概に定めがたいが、1.4程度以上は必要でなかろう。安全率の基準設定の検討はまだ今後残されている。

3. ヘドロの添加材処理 盛土のような大量のものを經濟的に改良する方法としては、添加材混合法は現段階では、時期的に過早であり、力学的原理を応用した方法のほうが実用的価値が高いといえよう。しかし一部の技術者には、添加材混合法の開発に解決の方法を見出そうとする向きもあるし、また基礎的検討の立場からは、その方法も比較検討する必要があるので、以下その効果について検討した結果を簡単に述べることにする。この検討は筆者のところで昭和40年までに終っている。

ヘドロのように高含水比の粘土に対する添加材の効果は、低含水比の場合より効果の差違がいっそう大きくなり、結局有機質諸材料はすべて水硬性材料にくらべて効率が著しく低い。ヘドロに対しては生石灰、消石灰、ポルトランドセメントの順序に効果が大きい。それらによつて得られた強度と材量および添加量の関係は図-7に示すところである。この種の材料によるせん断強度は図-8、9に示すように、粘着力とともにかなりの摩擦力が付加されるものであることが分る。これらの強度はやはり、ねり返しによつて低下が起り、その程度はセメントの場合に表-1に示す程度であり、添加量が大きいほどその度

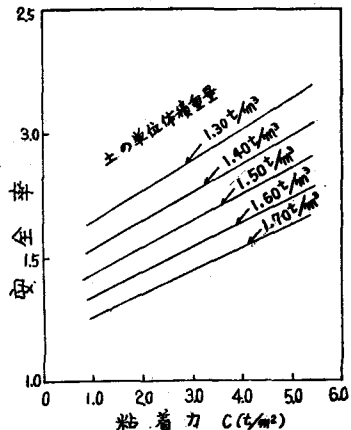


図-3 築堤部の粘着力による安全率の変化(引張りされつを考慮しない場合)

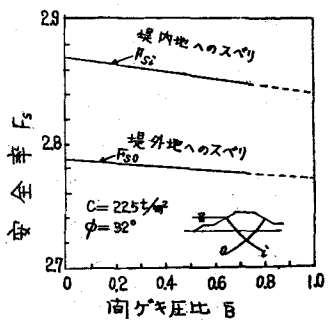


図-4 向けき圧比の変化に伴なう安全率の変化の一例

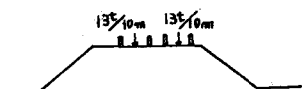


図-5

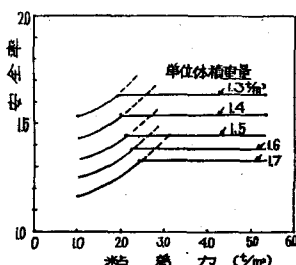


図-6 築堤上にトラック荷重を載せた場合の粘着力と安全率の関係(引張りされつを考慮した場合)

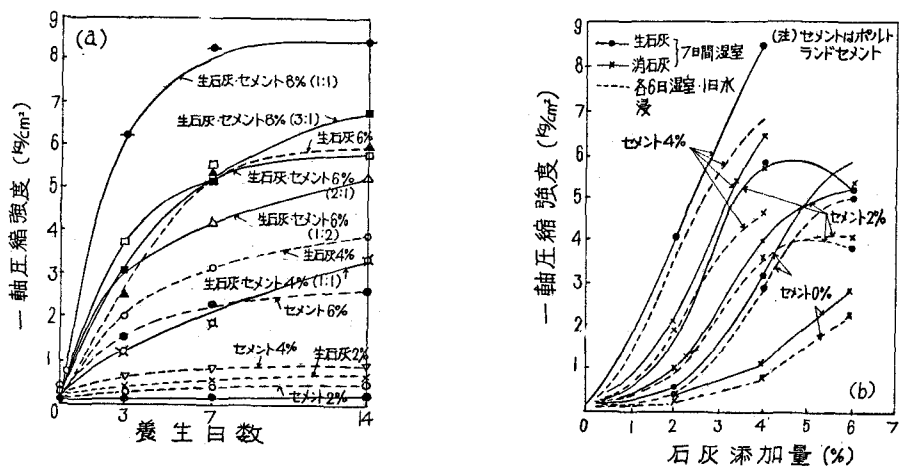


図-7 自然含水比のヘドロに対するセメント・石灰併用添加の効果

化は大きいが、鋭敏比で3よりは大きくならない。鋭敏比の大きさは安全率を設定するに考慮すべき要素となる。

表-1 セメント処理ヘドロ
鋭敏比

セメント量(%)	材令(日)	一軸強度 (kg/cm²)	鋭敏比
0	1	0.14 → 0.08	1.75
	2	0.17 → 0.10	1.70
	3	0.16 → 0.11	1.45
4	1	0.73 → 0.44	1.66
	2	0.77 → 0.44	1.75
	3	0.91 → 0.44	2.07
8	1	7.9 → 1.88	4.22?
	2	7.7 → 3.31	2.33
	3	7.5 → 3.00	2.49

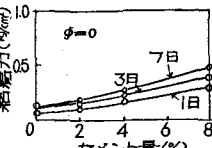


図-8 全応力法によるセメント処理のヘドロのせん断強度

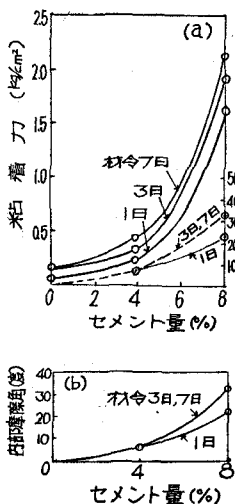


図-9 有効応力法によるセメント処理のヘドロのせん断強度

高含水比のヘドロは堤体に用いた場合、乾燥収縮に伴なってしづかに発生しやすく、水硬性の添加材を加えた場合はこれに硬化収縮が加わる。供試体について、被覆の有無の影響を調べたのが図-10であり、被覆によりかなり収縮の防止(1%以下)ができることが分かる。

4. 多層式サンドイッチ工法 これまで発表してきたヘドロによる築堤工法は、多段式サンドイッチ工法と名づけ

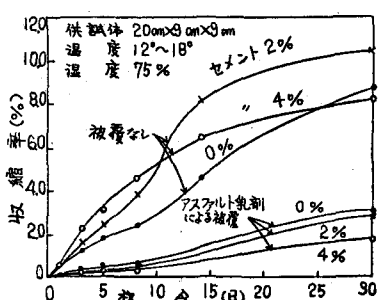


図-10 ヘドロの収縮率の変化

たもので、脱水を目的として、排水の力学的原理に生石灰の化学作用を加えた方法である。この方法はすでに、実験室と現場の試験検討を終り、あと、カードボードの心(しん)による洪水時の逆流の問題や、堤体上の

走行試験、土質の経年変化のような補足的検討が残されていゝ程度である。この現地試験は近く実施される運びになつてゐる。

この工法によって得られたヘドロの強度は、粘着力で $0.2 \sim 0.3 \text{ kN/cm}^2$ 程度(図-11に示すよな現場における十分脱水されたのちのコーン支持力から、一軸圧縮強度を推定)であり、図-6に示したようなトラック上載時、すべりに対する極限安全率をえた。コーン支持力がおよそ 0.3 kN/cm^2 (オ1層のようく脱水効果の大きい部分)であることは、WESの方法によれば接地圧のごく小さいトレーラーないし後輪駆動の車両一般の交通を許容することであり、一応満足すべき値であろう。

5. 結び この報告では、(a) 標準断面の堤防を築造するには要なヘドロの強度を論じたのち、(b) ヘドロの改良のための添加混合法の効果を述べ、脱水を目的としてこれまで開発してきた多層式サンドイッチ工法が、前2項の検討結果を踏まえたうえで、効率のうえでも優れたものであることを述べた。

なお、ヘドロは上述の方法のうち、どのような処理によって築造するにしても、土羽づけのような表面処理は当然検討すべき問題である。ヘドロの収縮防止のための被覆効果は、筑後川河口付近のように砂が多く浚渫されたときには、二の砂を利用したシートアスファルトの方法⁴⁾が十分有用である。

文献 1) 山内、三浦：軟弱粘土による築堤のための多段式サンドイッチ工法、土木学会第22回年次学術講演会講演概要、昭. 42. 5, 2) 山内、三浦：多段式サンドイッチ工法による現場盛土試験、土質工学会第3回研究発表会講演集、昭. 42. 11, 3) 山内、三浦：軟弱粘土による築堤のための多段式サンドイッチ工法(続報)、昭. 43. 10, 4) 細川、竹下、山内：筑後川感潮区間堆積土の調査報告書(第2報)、建設省筑後川工事事務所、昭. 36. 3.

謝辞 ヘドロによる築堤に関する研究は、建設省九州地方建設局に協力して行なつたもので、とくに武雄工事事務所との共同研究に貢うところが大きい。関係者の御援助に深甚の謝意を表するものである。

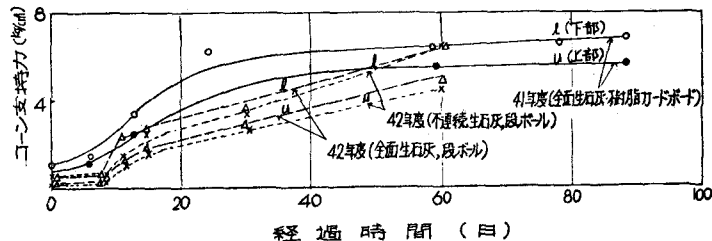


図-11 サンドダイヤモンド法による現地試験堤のコーン支持力の比較
(オ1層のみを示す)